

第一次全蘇連續鑄錠會議文件匯編

连续铸锭论文集

苏联科学院 编

冶金工业出版社

第一次全苏連續鑄錠會議文件汇編

連續鑄錠論文集

苏联科学院 編

冶金工业出版社

連續鑄錠論文集

苏联科学院 編

編輯：杜华云 設計：朱駿英 校对：赵崑方

— * —

冶金工业出版社出版 (北京市灯市口甲45号)

北京市書刊出版業營業登記證出字第063号

通州区印刷厂印 新华书店发行

1959年7月第一版

1959年7月 北京第一次印刷

印数5,010册

850×1160 • $\frac{1}{22}$ • 320,000 字 • 印张11 $\frac{22}{37}$ •

— * —

统一书号15062·1508 定价 1.40 元

出版者的話

在当前鋼鐵生产大跃进中的主要矛盾就是軋鋼生产力落后于炼鋼，在軋鋼这一关中开坯能力也嫌不足，因而采用連續鑄錠法对提高鋼材产量将有很大的实际意义。此外，連續鑄錠是一种新技术，此法比普通浇鑄法具有很多优点，如可直接由鋼水得到供下步加工用的鋼坯並能提高軋材的合格率等等。

本論文集是根据苏联 1955 年 10 月全苏第一次連續鑄錠會議文件汇編譯出。其中部分文章曾先后以专刊形式出版过。为了完整起见，这次也将該部分文章收集在本論文集中。目前我国許多工厂正在試驗連續鑄錠法。很需要这类参考資料。为了满足这一要求，我們特将全苏連續鑄錠會議文件汇編組織翻譯出版，以供我国冶金工作者参考。

目 录

連續鑄鋼會議的任務·····И. П. 巴爾金院士的開幕詞·····	1
連續鑄鋼過程的研究·····В. С. 魯捷斯和Д. П. 耶夫捷也夫·····	2
連續澆注鑄坯之質量研究·····Н. А. 尼科萊也夫·····	60
新土拉冶金工厂連續鑄鋼裝置的構造·····В. П. 德魯日尼·····	76
上紅索爾莫沃工厂·····А. В. 赫里普柯夫·····	82
連續鑄鋼裝置之工作	
連續澆注金屬質量的研究·····Н. А. 柯曼金·····	89
連續澆注特殊鋼及碳素鋼的特徵·····М. С. 鮑依琴柯·····	102
中等產量的平爐車間高爾達·····Г. А. 高爾布茲·····	120
底式連續鑄鋼裝置的設計	
用 ПНЛ 型鑄鋼機澆鑄不銹鋼·····Б. З. 柯諾諾夫·····	125
輸送式連續鑄鋼機·····М. Ф. 高爾達矣·····	138
不經中間加熱進行橫軋用·····А. С. 尼基弗洛夫·····	148
小斷面鑄坯的連續澆注法	
工業性連續鑄鋼裝置的標準結構·····В. В. 弗里馬赫特·····	155
在工業中採用連續鑄鋼代替普通鑄錠的試驗結果及其遠景	
影響凝固層滑動的連續鑄鋼工藝的幾個基本因素·····И. Я. 格拉納特·····	176
傾斜式連續鑄鋼法·····Е. С. 別爾明欽·····	189
連續澆注的鑄坯成型特點·····О. Д. 吉蓋里·····	199
在連續澆注中的氧气切割·····О. Ш. 斯彼克托爾·····	216
連續澆注條件下鋼水的結晶與特性·····А. П. 布羅諾夫·····	231
連續鑄坯內的氣體和非金屬夾雜物·····В. И. 亞沃斯基·····	245
對凝固期中鋼的機械性能的研究與·····Л. М. 波斯特諾夫·····	261
連續鑄鋼時熱裂紋形成過程的分析·····Б. Б. 古良耶夫	

連續鑄鋼會議的任務

——И. П. 巴尔金院士的开幕詞——

根据苏联部长會議副主席 И. Ф. 捷沃西安同志的委托，由 А. М. 薩馬林、Н. А. 布洛欣、К. И. 郭斯捷夫、А.Ф. 梅尔茨莫夫、П. Н. 庫什尼爾、А. П. 普羅諾夫、Б. В. 費契列夫和 В. И. 雅沃依斯基組成的委員會，了解了連續鑄鋼的科學研究結果和連續鑄鋼機的使用結果。

為了在日常生產中採用新的先進鑄鋼方法，當然還須要解決許多複雜的課題。然而，我們今天可以說通過蘇聯冶金工作者的努力，並已證明了實現連續鑄鋼在技術上是可能的。

由於沒有在各研究組之間組織經驗交流，研究工作者力量分散，而且幾乎完全沒有進行理論性的研究工作，以致拖延了獲得良好結果的時間。應尽快消除這些缺點。

在蘇聯部长會議副主席 И.Ф. 捷沃西安同志召開的專門會議上聽取了委員會的報告。為了廣泛地交流經驗，確定下一步的科學研究方向，委託蘇聯科學院來召集這次連續鑄鋼會議，並責成由薩馬林、П. Е. 索科洛夫、А. А. 哈巴赫帕舍夫、郭斯捷夫、В. С. 魯捷斯、А. А. 柯托甫失潤夫和 Ю. Н. 柯熱甫尼潤夫組成的組織委員會作會議的籌備工作。

在上述會議上，捷沃西安同志指示各個部，要在今年第四季度結束對現有鑄鋼機所進行的研究工作，並應向我國各鋼廠提出有關使用何種型式鑄鋼機和澆鑄方法的建議。這項指示就決定了這次會議的工作方向和內容。

首先，必須詳細而客觀地闡述已取得的成果，以此交流過去一段的工作經驗；其次是根據所得到的成果鑑定連續鑄鋼機的各部分結構和澆鑄方法，從而確定它們是否適於在工業上應用；再次是擬定下一步的研究大綱，以改進澆鑄方法，改進機器和消除連續鑄鋼機上澆得的鑄錠的缺陷。

連續鑄鋼過程的研究

B. C. 魯捷斯和 Д. П. 耶夫捷也夫

中央黑色冶金科學研究院

中央黑色冶金科學研究院曾對連續鑄鋼過程的掌握進行了研究。在研究工作中，確定了過程主要參數（澆鑄速度、液相深度、澆鑄金屬的溫度、鋼號、冷卻強度等）之間的相互關係。熟悉這些主要參數即可着手設計和建造工業性的連續鑄鋼設備。新土拉冶金工廠及〔紅索爾莫沃〕工廠第一批工業性裝置的工作經驗証實，以前所得到的過程規律性是正確的，同時在掌握上述設備的過程中，也發生了一些新的問題。

其中主要問題之一是，將澆鑄速度提高到一定的限度，以保證在較短的時間內澆鑄較大量的液體金屬，也就是提高設備的生產能力。澆鑄速度的提高會引起連續鑄坯中液相深度的增加、結晶線的改變（即結晶器出口處鑄坯凝固表層厚度的縮小）、鑄坯表面與結晶器壁之間的摩擦值的改變等等。

急劇冷卻可保證得到細粒組織的鑄坯，但另一方面，鑄坯的激冷將引起內裂縫的形成。這樣，為了擬定最優越的連續鑄鋼工藝過程，必須確定操作過程中所有的重要參數——澆鑄速度、冷卻強度等——與所得之連續鑄坯質量之間的相互關係。要解決這些任務，不進行廣泛的連續鑄鋼過程的理論研究是不行的。

工作經驗指出，在研究過程中主要方向應當是研究鋼的結晶與熱交換的條件。了解了這幾點即可提高澆鑄速度，改善鑄坯質量，製造構造合理、壽命較長和二次冷卻操作正確的結晶器，從而保證設備生產率的提高。

研究題目：研究連續澆鑄時鋼的結晶和熱交換的第一階段，包括有下列題目：

1. 研究連續鑄坯與結晶器之間的熱交換和結晶器通道中水的流速、結晶器工作壁的錐度以及澆鑄速度之間的關係。

2. 研究二次冷却区内鑄坯与水之間的热交换条件。

3. 研究連續浇鑄过程中鋼的結晶条件。

研究方法：根据所提出的題目，采用了下列研究方法。

1. 利用測量結晶器銅壁溫度，或者測量通过結晶器的冷却水的消耗量及其加热溫度的方法，測定結晶器中的散热量。

2. 測量二次冷却区的耗水量及水的加热溫度，以确定二次冷却区的散热量。

3. 用試驗的方法測定連續鑄坯中液相深度和結晶綫，以研究鋼的結晶条件。

連續鑄坯中液相深度及 結晶綫的确定①

采用两种方法确定液相深度和結晶綫：射綫照相法及測量鑄坯內部溫度的方法。

射綫照相方法包括在澆鑄末期在鑄坯中加入一定数量的放射性同位素：磷 P³² 或硫 S³⁵，同时兑入液体鉛（图 1）。从鑄坯上切得横向和縱向試样，磨光以后，摄取其射綫照片，即可确定結晶綫在鑄坯高度上和橫断面上的位置。可按切割鑄坯过程

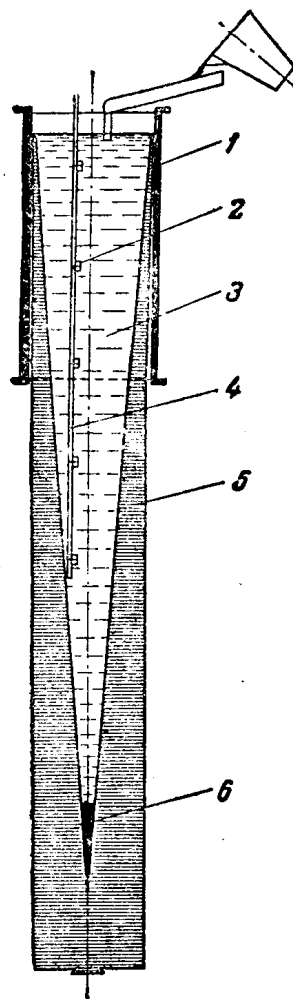


图 1 鑄坯中加入鉛和放射性同位素磷以确定液相深度和液相形状
1—結晶器；2—同位素磷；
3—鋼水；4—鐵杆；5—凝固硬壳；6—鉛

① 中央黑色冶金科学研究院、新土拉冶金工厂及【紅索爾莫沃】工厂。

中所发现的鉛的分布位置来确定液相的深度。

第二种方法，是用裝置在引坯中的鉑—鉑鎳热电偶测量結晶鑄坯内部的溫度。热电偶的接头距引坯 300—400 公厘，并用石英套保护。热电偶的电极安在外部衬有耐火材料的钢管内。后来用中央黑色冶金科学研究院研究出的 ЦНИИЧМ—1 型电极制做热电偶。在这种情况下，接头上沒有保护套，在浇鑄过程中直接与液体金属接触，用专门的仪表記錄热电偶的讀数。按溫度—时间

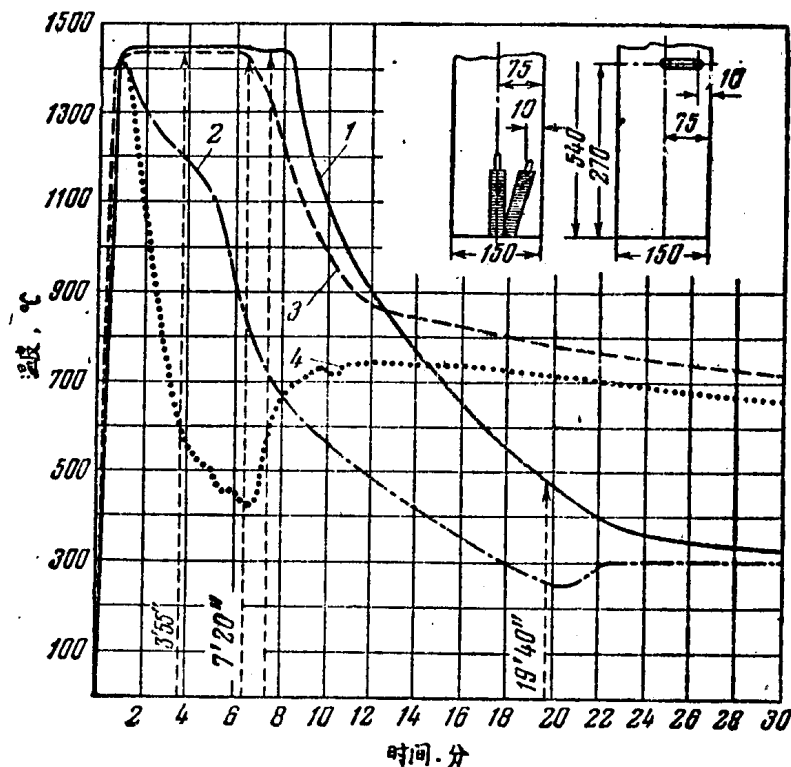


图 2 热电偶在鑄坯内部的布置简图及金屬溫度与时间的关系

1X18H9T 不锈钢 №28 鑄坯

1—中心；2—表面；7'20"—浇鑄时间；19'40"—二次冷却时间，

Y8TA 鋼 №88 鑄坯；3—中心；4—表面；3'55"—浇鑄时间；

6'30"—二次冷却时间

座标上曲線的拐点确定鑄坯完全凝固的时间（图2）。

所进行的試驗結果确定，扁坯完全凝固的时间，例如3号鋼，在鑄坯厚度为150公厘时是6分鐘，并在一定的鑄坯冷却条件下，液相深度与浇鑄速度成正比，即

$$L = 6 \cdot v. \quad (1)$$

式中 L ——液相深度，公厘；

v ——拉坯速度，公厘/分鐘。

由測量鑄坯內部（沿其軸心）溫度的方法所得到的完全凝固时间，和用放射性同位素和鉛所得到的液相深度的結果是很符合的。設完全凝固时间为6分鐘，当拉坯速度为315公厘/分鐘时，所得到的液相深度为1890公厘，当拉坯速度为500公厘/分鐘时，液相深度为3000公厘，拉坯速度为600公厘/分鐘时，液相深度为3600公厘，拉坯速度为700公厘/分鐘时，液相深度为4200公厘。用射綫照相法得到的液相深度，在上述拉坯速度下，分别为1900, 3030, 3630及4160公厘。根据厚度为150公厘的3号鋼鑄坯完全凝固时间的試驗数据来看，平均結晶速度等于12.5—14.6公厘/分（0.156—0.244公厘/秒）。

当研究連續鑄鋼工艺过程时，結晶器出口处鑄坯凝固层的厚度有很大的意义。用射綫照相法确固凝固层厚度的結果指出，結晶器出口处凝固层的厚度随着澆鑄速度的增加而减小。这样，当澆鑄厚度为150公厘的3号鋼扁坯时，結晶器出口处凝固层厚度为：

澆鑄速度（公厘/分）	凝固层厚度，公厘	
	寬面	窄面
400	50	40
550	46	37
700	42	33

上述情况下，寬面长度与窄面长度之比在3.2—4.0范围内。

由所列出的数据看到，窄面凝固层厚度比寬面小些，这是由于凝固时鋼发生收縮，鑄坯与結晶器之間，形成空隙的条件不同所造成的。沿窄面的空隙形成的比寬面早。随着寬面长度与窄面

长度比值的減少，寬窄邊凝固層厚度差異減小。當比值等於 2 時，得到下列結果：

澆鑄速度 公厘/分	凝固層厚度，公厘	
	寬面	窄面
315	50	49
600	34	32

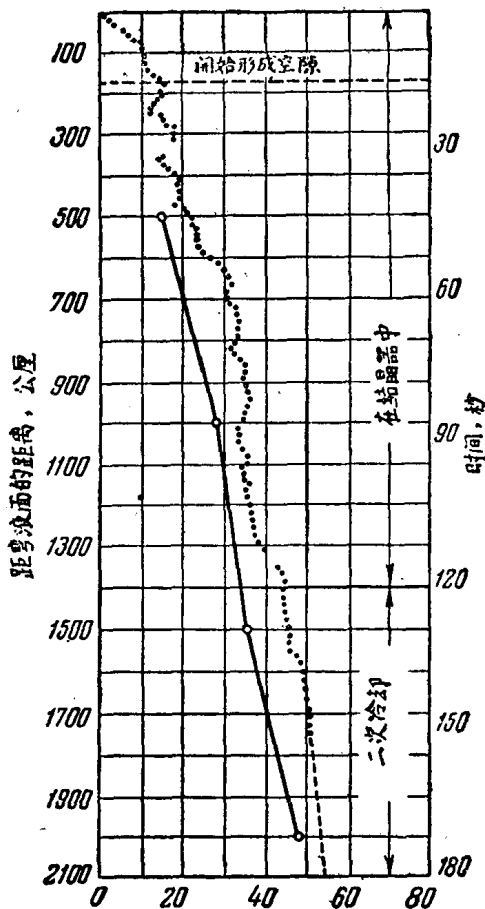


圖 3 3號鋼鑄坯斷面為 150×475 公厘，澆鑄速度為 700 公厘/分，鑄坯高度上凝固層厚度的變化

虛線——寬面；實線——窄面

由上述數值可以確定，3號鋼凝固層厚度與單位時間內結晶器的散熱數值及鑄坯斷面周邊間的下列相互關係。

$$\delta = \frac{Q}{11.3 \cdot v \cdot p} \quad (2)$$

式中 δ ——凝固層厚度，公厘；

Q ——散熱值，大卡/秒；

v ——澆鑄速度，公尺/分；

P ——鑄坯周邊，公尺。

確定 150×600 公厘 $1X18H9T$ 不銹鋼鑄坯凝固層厚度的結果，也說明凝固層厚度隨澆鑄速度的增加而減小。拉坯速度由 500 公厘/分提高到 1200 公厘/分時，結晶

器出口处凝固层厚度由 50 減少到 20 公厘。

根据所列出的資料可以得出，断面厚度为 150 公厘的 3 号鋼扁鑄坯，当浇鑄速度为 400—700 公厘/分时，宽面的平均凝固速度变化为 15.4~22.7 公厘/分，而窄面变化为 12.3~17.8 公厘/分。浇鑄 150×600 公厘的 1X18H9T 鋼鑄坯时，当拉坯速度为 500—1200 公厘/分时，平均結晶速度为 17.8~17.1 公厘/分。

所列出的 1X18H9T 鋼和 3 号鋼鑄坯，其寬面長度与窄面專度之比值为 3.2—4.0。当此比例值減少到 2.0—2.4 时。3 号鋼平均凝固速度增加到 17.4~20.7 公厘/分（浇鑄速度为 500—600 公厘/分）。

鑄坯由結晶器抽出后，結晶速度逐渐減小，这可以由表示高度的凝固层厚度沿着鑄坯的变化曲綫图中看出（图 3）。

除此之外，由此图中还可看到，結晶綫并不是平坦的曲綫或平直的表面，而是有凸起或凹陷的，这是由于結晶器中鑄坯冷却的不均匀、液体鋼流冲刷的作用、初晶形成的度速不同，以及介质的物理状态等不同的原因所造成。在不銹鋼鑄坯中，凝固层厚度的变化特別不均匀。而在鑄坯凝固末期，結晶綫的不均匀性則逐渐減小。

确定連續鑄坯中結晶綫和液相深度的結果，可以得出下列的結論：

1. 液相深度的数值与拉坯速度成正比。
2. 在結晶器出口处鑄坯凝固层厚度随着拉坯速度增加而減小。
3. 宽面長度与窄面長度之比值愈大，则宽面凝固层厚度比窄面凝固层厚度亦就愈大。
4. 結晶器中鑄坯凝固层的平均結晶速度高于整个鑄坯的平均結晶速度。
5. 沿着鑄坯高度的凝固层厚度的变化是不均匀的。鑄坯凝固末期結晶綫逐渐趋向展直。

結晶器与二次冷却区热交换的研究，

結晶器的热工条件

結晶器中的散热量与其通道中水的流速和澆鑄速度之关系。将3号鋼及1X18H9T鋼澆成 150×500 及 150×600 公厘扁鑄坯时，对結晶器热交换与其通道中水的流速及澆鑄速度的关系进行了研究。

根据測量結晶器中水的耗量及水的加热溫度确定了散热量。耗水量用装置在排出管上的流量板及环形无标度的流量計进行測量，后一种流量計上带有将讀数传送到第二个仪表的感应传递器或ДПЭС型浮子式差示讀数的压力計。結晶器进水和排水系統安装有鉻鎳鐵合金—鎳鋁矽鎂合金差示热电偶，其据有很小的慣量，对測量結晶器进出水溫度差有很大灵敏度。根据上述的測量，可以按下面公式計算出单位時間內結晶器总的散热量。

$$Q = CWr\Delta t.$$

式中 C——水的热容量，大卡/公斤·°C；

W——水耗量，立升/秒；

r——水的比重，公斤/立升；

Δt ——結晶器中水的溫升，°C；

Q——散热量，大卡/秒。

試澆3号鋼时所得到的結晶器中水加热溫度的变化与其通道中水流速（或結晶器耗水量）的关系的数据列于表1和图4澆鑄金屬的溫度等于 1560 — 1590 °C。

由列出的試驗数据得出，随着結晶器通道中水流速的減慢（或水耗量的減少），水的受热溫度不斷升高；但散热强度实际上并没有改变，因为冷却水加热溫度的升高抵偿了水耗量的減少。例如，在以400公厘/分的速度經過 150×600 公厘断面結晶器进行澆鑄的情况下，冷却水流速由5.27降低到2.94公尺/秒时，水的溫升由 8.2° 提高到 13.8°C ；澆鑄速度为480公厘/分时，經過 150×500 公厘断面結晶器的冷却水，流速由5.64降到3.85公尺/秒

时，水的溫升由 5.3°C 提高到 8.2°C。在第一种情况下，散热量波动在 308—287 大卡/秒范围内。在第二种情况下散热量波动在 232—246 大卡/秒范围内。鑄坯宽度由 600 公厘减少到 500 公厘时，对于結晶器中水的受热溫度沒有很大的影响。

表 1

澆鑄 3 号鋼時結晶器中之散热量

澆鑄速度(公厘/分)	通道中水的流速(公尺/秒)	水的溫升(°C)	散热量大卡/秒
400 (鑄坯150×600)	2.94	13.8	287
	3.78	10.6	274
	5.27	8.2	263
	3.20	9.5	277
450 (鑄坯150×500)	3.85	8.0	240
	4.50	7.0	244
	5.13	5.8	232
	5.50	5.5	243
480 (鑄坯150×500)	3.85	8.2	246
	4.50	7.0	245
	5.13	5.8	244
	5.64	5.3	232

为了确定澆鑄速度对散热强度的影响，在澆鑄 3 号鋼時，曾进行了專門的試驗。在同一爐鋼的澆鑄過程中，拉坯速度变化为 300—800 公厘/分。試驗在两个不同錐度的結晶器中进行，結晶器錐度为：

$$\frac{F_h - F_b}{F_h} \cdot 100.$$

式中 F_h ——結晶器下部橫斷面積；

F_b ——結晶器上部橫斷面積。

当进行上述之試驗时，結晶器采用了下面的錐度：

$$\text{No } 1 \text{ 結晶器} \dots \dots \frac{F_h - F_b}{F_h} 100 = +3.21\%;$$

$$\text{No } 4 \text{ 結晶器} \dots \dots \frac{F_h - F_b}{F_h} 100 = -0.02\%.$$

在这两种情况下，结晶器中的耗水量均为 60 立升/秒。

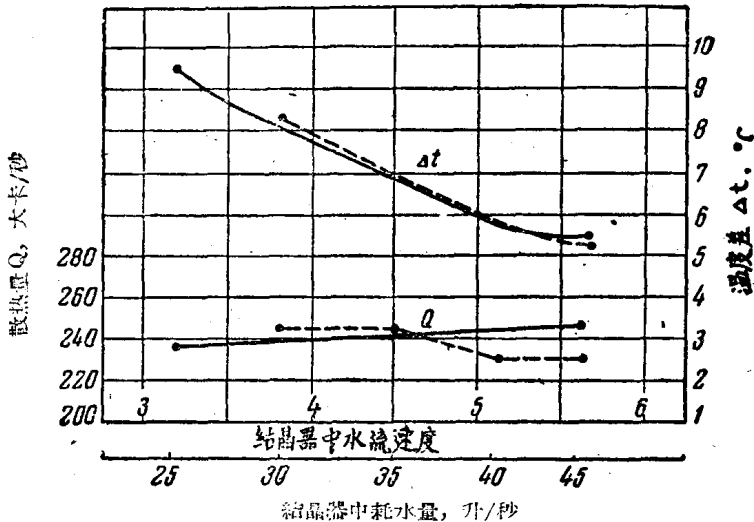


图 4 结晶器中耗水量与散热量的关系

虚线——金属温度 1590°, 浇铸速度 480 公厘/分; 实线——金属温度 1560°, 浇铸速度 450 公厘/分

分析上述試驗的結果(图 5)指出，单位時間內結晶器散热量随着浇鑄速度的提高而增加，澆鑄速度由 300 增加到 800 公厘/分時，散热量提高了 110 大卡/秒，或是提高了 56~68%，但是當澆鑄速度接近于 800 公厘/分時，散热量增长的速度逐漸緩慢。

在 150×600 公厘結晶器中，澆鑄 1X18H9T 鋼時也得到了近似的数据。當澆鑄速度由 500 增加到 1200 公厘/分時，結晶器中的散热量由 360 提高到 567 大卡/秒。

由上述試驗数据也可以确定，結晶器工作壁錐度与散热量的关系：錐度由 $+3.21\%$ 变化到 -0.02% ，也就是改变 3.23% 时，散热量可相应增加 30 大卡/秒，或增加 62800 大卡/公尺²·小时。散热强度随着結晶器工作壁向下收縮的錐度变化而增加的实际作用，可由按公式 (2) 計算結晶器出口处鑄坯凝固层厚度的結果加以鑑定。鑄坯凝固层厚度随着錐度由 $+3.21\%$ 变化到 -0.02% 而增加了 12—19%。

在整理用热工控制仪表测得 3 号钢 (Cr.3) 在不同锥度的结晶器中和不同拉坯速度下的浇铸过程的读数之后所得到的数据，很好地证实了此次研究浇铸速度及结晶器锥度对于结晶器中散热

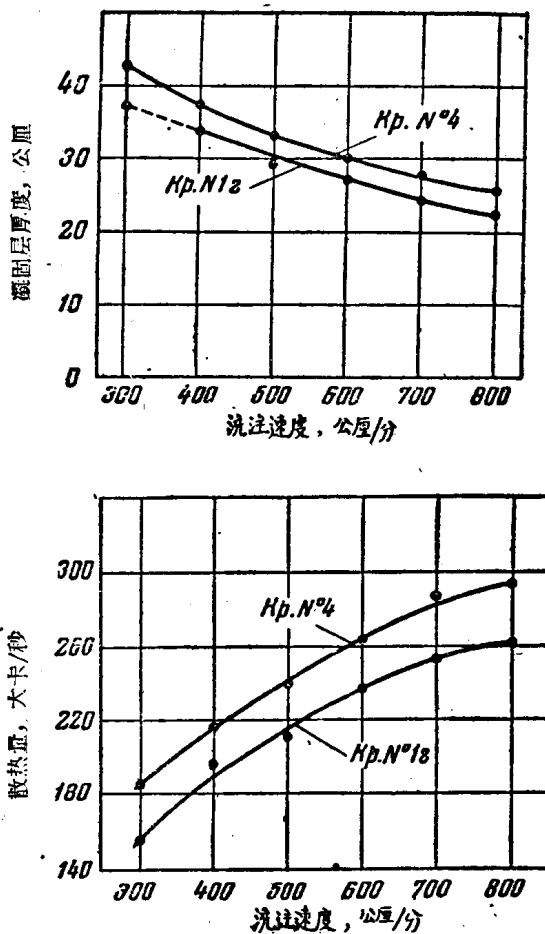


图 5 3 号钢浇铸速度对结晶器出口处铸坯凝固层厚度以及结晶器散热量之影响

量影响的试验结果 (图 6)。

金属水平面的波动及伴随凝固层破坏所产生的“悬挂”对结晶器散热强度有很大的影响。当“悬挂”时，在凝固层破裂的地

方，液体金属与结晶器壁直接接触，因而散热量显著的增加，水的加热温度亦将增加 1.5 到 2.0°C。

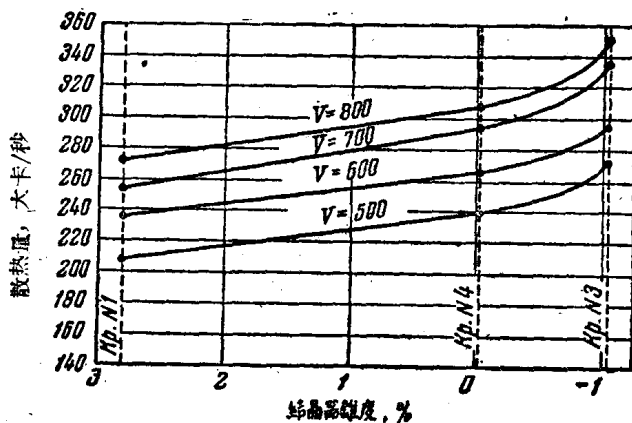


图 6 在不同的浇鑄速度下(V , 公厘/分)結晶器中的散热量与結晶器錐度的关系

这样，根据研究結晶器通道中水的流速、浇鑄速度及錐度对結晶器散热强度之影响的資料可以得出下列結論：第一，結晶器散热强度与結晶器通道中水的流速无关；第二，結晶器散热强度随着浇鑄速度提高而增加，并随着結晶器工作壁由正錐形（上部面积比下部小）变为反錐形（上部断面大于下部）而增加。

結晶器的热工条件 是在断面为 150×530 公厘、长度为 1400 公厘的結晶器中鑄鋼时对結晶器的热工条件进行了研究，結晶器的銅壁是互相平行的（錐度等于零），厚度为 10 公厘。在銅壁上（一个宽面，一个窄面），安装了 29 个銅—銅鎳热电偶，16 个装在宽壁上，13 个装在窄壁上。热电偶的数量及其沿壁高度上的布置和安装的方法的选定，应能保証滿意地确定出溫度沿着結晶器高度变化的特性（图 7）。宽面壁上 12 个热电偶接头与窄面壁上 9 个热电偶接头布置在距靠近鑄坯这一侧的銅壁表面 2 公厘处。其余的热电偶接头则安装在距靠近冷却水这一侧的銅壁表面上 1 公厘处。热电偶的讀数是借助于測量导綫用 ЭПП-09 型自动記錄的电子式电位表記錄。